

Рис. 5

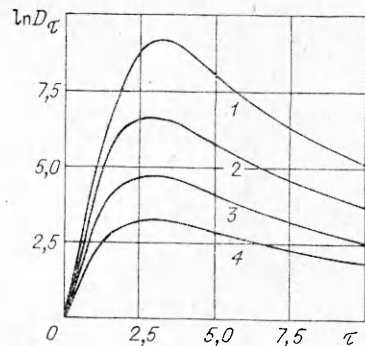


Рис. 6

на рис. 5). Видно, что наибольшая величина амплитуды изгибных возмущений в начале движения растет практически экспоненциально, а затем начинает сравнительно медленно уменьшаться.

В результате роста возмущений разрушение пленки произойдет в момент  $\tau_1$ , когда  $\chi(\tau_1) = -1$ . Характерный размер кусков, на которые пленка распадается, равен при этом  $l_1 = 2\pi R_0(\tau_1)/s_\tau(\tau_1)$ .

Авторы признательны В. М. Ентову за полезные обсуждения.

#### ЛИТЕРАТУРА

- Кузнецов В. М., Шер Е. Н. Об устойчивости течения идеальной жидкости в полосе и кольце // ПМТФ.— 1964.— № 2.
- Ентов В. М., Султанов Ф. М., Ярин А. Л. Распад жидких пленок под действием перепада давления окружающего газа // ДАН СССР.— 1985.— Т. 284, № 5.
- Ентов В. М., Султанов Ф. М., Ярин А. Л. Распад жидких пленок под действием перепада давления окружающего газа // Изв. АН СССР. МЖГ.— 1986.— № 3.
- Стебновский С. В. Развитие начальных возмущений внешней границы расширяющегося газожидкостного кольца // ПМТФ.— 1982.— № 5.
- Стебновский С. В., Чернобаев Н. Н. Энергетический порог импульсного разрушения жидкого объема // ПМТФ.— 1986.— № 1.
- Султанов Ф. М., Ярин А. Л. О радиальном расширении цилиндрических слоев вязких и реологически сложных жидкостей // ИФЖ.— 1986.— Т. 50, № 6.
- Тадмор З., Гогос К. Теоретические основы переработки полимеров.— М.: Химия, 1984.
- Ентов В. М. Динамика пленок вязких и упругих жидкостей.— М., 1979.— (Препринт/ИПМ АН СССР; № 130).
- Entov V. M. On the dynamics of films of viscous and elastoviscous liquids // Arch. Mech. Stosow.— 1982.— V. 34, N 4.
- Виноградов Г. В., Малкин А. Я. Реология полимеров.— М.: Химия, 1977.
- Ярин А. Л. Изгибные возмущения свободных струй жидкостей Максвелла и Дои — Эдвардса // ПМТФ.— 1986.— № 6.

Поступила 29/I 1987 г.

УДК 532.5:531.001.362

#### ПРОСТРАНСТВЕННЫЕ АВТОМОДЕЛЬНЫЕ ЗАДАЧИ ПРОНИКАНИЯ ЗАТУПЛЕННЫХ ТЕЛ В ИДЕАЛЬНУЮ СЖИМАЕМУЮ ЖИДКОСТЬ (СВЕРХЗВУКОВОЙ СЛУЧАЙ)

Ф. М. Бородич

(Москва)

В линейной постановке рассматривается пространственная задача проникания затупленного тела в полупространство идеальной сжимаемой жидкости, когда скорость расширения границы смоченной поверхности тела больше скорости звука в жидкости (сверхзвуковой случай).

Известно, что решение таких задач в общей постановке дается формулой запаздывающего потенциала [1—5]. В работе выделяется класс автомодельных задач проникания затупленных тел в сжимаемую жидкость. Показано, что для осесимметричных автомодельных задач общие формулы упрощаются. Приведены результаты некоторых

численных расчетов. Для автомодельной задачи о проникании затупленного конуса результаты совпадают с полученными в [1, 4].

**1. Постановка задачи.** Пусть жесткое затупленное тело проникает со скоростью  $V(t)$  в идеальную невесомую слабо сжимаемую жидкость, занимающую в состоянии покоя полупространство  $x_3 \geqslant 0$ . Скорость тела принимается перпендикулярной плоскости  $x_3 = 0$ . Предполагается, что  $V(t)$  на всем протяжении процесса мала по сравнению с  $a$  (скоростью звука в жидкости), а также, что скорость расширения области взаимодействия тела с жидкостью в каждой точке ее границы в любой момент времени больше скорости звука (скорость расширения вычисляется по нормали к границе).

Начало декартовой системы координат берется в первоначальной точке касания тела со свободной поверхностью. Ось  $x_3$  направлена в глубь жидкости, а оси  $x_1$  и  $x_2$  — по первоначальной свободной поверхности.

Проникающие тела затуплены, т. е. считаем, что угол между касательной плоскостью к телу и плоскостью  $x_3 = 0$  мал на всем интервале времени рассмотрения задачи; глубина проникания мала и решение задачи проникания можно искать на основе линеаризованных уравнений гидродинамики [1—3]. Границные условия с границы контакта тела с жидкостью сносятся на плоскость  $x_3 = 0$ . Возникшее течение считается потенциальным.

Скорость частиц жидкости  $\mathbf{v} = \{v_1, v_2, v_3\}$  и давление  $p(\mathbf{x}, t)$  определяются через потенциал  $\Phi$  по формулам [1—5]

$$(1.1) \quad v(\mathbf{x}, t) = \operatorname{grad} \Phi(\mathbf{x}, t), \quad p = -\rho \partial \Phi(\mathbf{x}, t) / \partial t$$

( $\rho$  — начальная плотность жидкости). Тогда задача проникания сводится к отысканию потенциала  $\Phi(\mathbf{x}, t)$ , удовлетворяющего волновому уравнению

$$(1.2) \quad \left( \frac{\partial^2}{\partial x_1^2} + \frac{\partial^2}{\partial x_2^2} + \frac{\partial^2}{\partial x_3^2} - \frac{1}{a^2} \frac{\partial^2}{\partial t^2} \right) \Phi(\mathbf{x}, t) = 0 \quad \forall t > 0,$$

граничному условию

$$(1.3) \quad \partial \Phi(x_1, x_2, 0, t) / \partial x_3 = V(t), \quad (x_1, x_2) \in G(t)$$

( $G(t)$  — область взаимодействия тела с жидкостью) и условию

$$(1.4) \quad \Phi \equiv 0$$

на фронте волны и перед ним.

Область взаимодействия  $G(t)$  в сверхзвуковом случае непосредственно определяется по форме поверхности проникающего тела. А именно, если поверхность затупленного тела задается функцией  $x_3 = -f(x_1, x_2)$ , то точки  $(x_1^*(t), x_2^*(t))$ , лежащие на границе  $\partial G(t)$  области взаимодействия, в момент времени  $t$  удовлетворяют условию

$$(1.5) \quad f(x_1^*, x_2^*) = \int_0^t V(\xi) d\xi.$$

**2. Пространственные автомодельные задачи.** Общие методы выделения преобразований подобия, допускаемых дифференциальными уравнениями, излагаются в [6]. Ниже рассматривается только одно преобразование, допускаемое уравнением (1.2) — преобразование растяжения координат, т. е. автомодельные задачи. В этом классе задач для тел, поверхность которых определяется положительной гладкой однородной функцией степени  $d$  ( $d \geqslant 1$ ), получено следующее утверждение подобия.

Утверждение 1. Пусть форма поверхности тела задается функцией  $f$  такой, что

$$(2.1) \quad \forall \lambda \geqslant 0 \quad f(\lambda x_1, \lambda x_2) = \lambda^d f(x_1, x_2) \quad \forall (x_1, x_2) \in R^2,$$

$$f(x_1, x_2) \in C^1(R^2 \setminus \{0\}), \quad f(x_1, x_2) > 0 \quad \forall (x_1, x_2) \in R^2 \setminus \{0\},$$

а скорость проникания — степенная функция вида

$$(2.2) \quad V(t) = V(1)t^{(d-1)}$$

( $V(1)$  — постоянная).

Тогда, если решение задачи (1.2)–(1.5), задаваемое потенциалом  $\Phi$ , известно в момент времени  $t_1$  ( $t_1 > 0$ ), то для произвольного момента времени  $t$  ( $t > 0$ ) решение определяется по подобию соотношением

$$(2.3) \quad \Phi(x, t) = \lambda^{-d}\Phi(\lambda x, t_1) \quad (\lambda = t_1/t).$$

При этом область  $G(t)$  будет получаться из  $G(t_1)$  гомотетией с центром в начале координат:  $((x_1, x_2) \in G(t)) \Leftrightarrow ((\lambda x_1, \lambda x_2) \in G(t_1))$ . Доказательство этого утверждения проводится непосредственной проверкой того, что выражение (2.3) с учетом (2.1), (2.2) удовлетворяет условиям (1.2)–(1.5). Проверка осуществляется таким же образом, как и при доказательстве теоремы подобия в пространственной контактной задаче теории упругости (см., например, [7]).

**Следствие.** Из утверждения 1 и условий (1.1) вытекает, что в рассматриваемом случае вектор скоростей и давление в точке жидкости также определяются по подобию:  $v(x, t) = \lambda^{(1-d)}v(\lambda x, t_1)$ ,  $p(x, t) = \lambda^{(1-d)} \times p(\lambda x, t_1)$ .

**Замечание.** Аналогичное утверждение о подобии справедливо и в дозвуковом случае рассматриваемой задачи.

**3. Решение задач для тел вращения.** Известно [1, 3, 7], что потенциал скоростей в задаче для тела произвольной формы можно записать в виде

$$(3.1) \quad \Phi(x, t) = -\frac{1}{2\pi} \int \int_{R^2} \frac{\partial \Phi / \partial x_3(\xi, \eta, 0, t - r_1/a)}{r_1} d\xi d\eta,$$

где  $r_1 = \sqrt{(x_1 - \xi)^2 + (x_2 - \eta)^2 + x_3^2}$ . При этом сила  $F$ , с которой тело действует на жидкость, определяется из выражения [5]

$$(3.2) \quad F(t) = \rho a S V(t)$$

( $S$  — площадь области  $G(t)$ ). Отметим, что функция  $\partial \Phi / \partial x_3(\xi, \eta, 0, t - r_1/a)$  известна: если  $(\xi, \eta) \in G(t - r_1/a)$ , то она равна  $V(t - r_1/a)$ , в противном случае она равна нулю. Таким образом, задача в принципе решена для тела произвольной формы. Однако решение конкретных задач встречает определенные трудности [1–4].

Для тела вращения в цилиндрической системе координат  $r, \theta, z$  ( $x_1 = r \cos \theta, x_2 = r \sin \theta, x_3 = z$ ) получим, что форма тела в начальный момент удовлетворяет уравнению  $z = -f(r)$ .

**Утверждение 2.** Пусть затупленное тело вращения, форма которого описывается произвольной монотонно возрастающей гладкой функцией  $f(r)$ ,  $f(0) = 0$ , со скоростью  $V(t)$  проникает в полупространство идеальной сжимаемой жидкости. При этом

$$(3.3) \quad V(t) = c f'(ct)$$

( $c$  — положительная постоянная). Тогда скорость распространения границы области взаимодействия  $\partial G(t)$  постоянна и равна  $c$ .

**Доказательство.** Пусть  $r_*(t)$  — радиус границы области взаимодействия  $\partial G(t)$ . Тогда из (1.5) и (3.3) имеем  $f(r_*(t)) = \int_0^t V(\tau) d\tau = f(ct)$ , отсюда получаем  $r_*(t) = ct$ , т. е. справедливо утверждение 2.

Если обозначить через  $M$  отношение постоянной скорости  $c$  к расширению радиуса  $r_*$  к скорости звука  $a$ , то  $r_*(t) = Mat$ ,  $M = c/a$ ,  $M > 1$ . Если тело вращения определяется степенной функцией  $z = -Ar^a$  ( $A > 0$ ), а скорость тела — выражением (2.2), то  $c = (V(1)/Ad)^{1/d}$ .

Для тела, форма которого описывается степенной функцией, сила взаимодействия с жидкостью с учетом (3.2)  $F(t) = \rho a \varphi(Ad)^{-2/d} V(1)^{1+2/d} t^{(d+1)}$ .

Выражение (3.1) для потенциала скоростей примет вид

$$(3.4) \quad \Phi(r, z, t) = -\frac{V(1)}{2\pi} \int_{\theta_1}^{\theta_2} \int_{\psi_1}^{\psi_2} \frac{(t - r_1/a)^{(d-1)}}{r_1} \psi d\psi d\theta,$$

где  $r_1 = \sqrt{r^2 + z^2 + \psi^2 - 2r\psi \cos \theta}$ ;  $\psi = \sqrt{\xi^2 + \eta^2}$ ;  $\theta$  — угол между векторами  $\mathbf{r}$  и  $\psi$ .

Для предельных значений  $(\theta)_{1,2}$  и  $(\psi)_{1,2}$  (аналогично тому, как это проделано в автомодельной задаче о тупом конусе [1, 4]) с учетом (3.3) получим: при  $r^2 + z^2 \leq a^2 t^2$

$$\theta_1 = 0, \theta_2 = 2\pi, \psi_1 = 0,$$

$$\psi_2 = -\frac{M}{M^2 - 1} [at - Mr \cos \theta - \sqrt{(at - Mr \cos \theta)^2 + (a^2 t^2 - r^2 - z^2)(M^2 - 1)}],$$

при  $r^2 + z^2 > a^2 t^2$

$$\psi_{1,2} = -\frac{M^2}{(M^2 - 1)} [at - Mr \cos \theta \pm \sqrt{(at - Mr \cos \theta)^2 + (a^2 t^2 - r^2 - z^2)(M^2 - 1)}],$$

$$\theta_1 = -\theta_*, \theta_2 = \theta_*, \theta_* = \arccos \left[ \frac{at + \sqrt{(1 - M^2)(a^2 t^2 - r^2 - z^2)}}{Mr} \right].$$

Введем безразмерные переменные  $r_0, z_0, \psi_0, (\psi_*)_0, V_0, \Phi_0, p_0$  по формулам  $r_0 = r/(at)$ ,  $z_0 = z/(at)$ ,  $\psi_0 = \psi/(at)$ ,  $(\psi_*)_0 = \psi_*/(at)$ ,  $V_0 = V/a$ ,  $\Phi_0 = \Phi/(a^2 t)$ ,  $p_0 = p/(a^2 V_0)$ . Далее будем пользоваться только безразмерными переменными, а индекс нуль опустим. Тогда выражение (3.4) запишем так

$$(3.5) \quad \Phi(r, z, t) = -\frac{V(1)}{2\pi} \int_{\theta_1}^{\theta_2} \int_{\psi_1}^{\psi_2} \frac{(1 - r_1)^{(d-1)}}{r_1} \psi d\psi d\theta.$$

В случае, когда  $d$  — натуральное число, из (3.5) следует

$$\Phi = -\frac{V(t)}{2\pi} \left[ \Phi_1 + \sum_{n=1}^K \frac{(d-1)(d-2)\dots(d-2n)}{(2n)!} P_{2n-1} - \sum_{n=1}^L \frac{(d-1)\dots(d-2n+1)}{(2n-1)!} P_{2n-2} \right],$$

где  $K = N - 1$ ,  $L = N$  при  $d = 2N$ ,  $\forall N = 1, 2, \dots$ ;  $K = N$ ,  $L = N + 1$  при  $d = 2N + 1$ ,  $\forall N = 0, 1, \dots$  Здесь введены обозначения:

$$(3.6) \quad \Phi_1 = \int_{\theta_1}^{\theta_2} \int_{\psi_1}^{\psi_2} \frac{\psi}{r_1} d\psi d\theta, \quad P_{2n-2} = \int_{\theta_1}^{\theta_2} \int_{\psi_1}^{\psi_2} (r_1^2)^{(n-1)} \psi d\psi d\theta,$$

$$P_{2n-1} = \int_{\theta_1}^{\theta_2} \int_{\psi_1}^{\psi_2} (r_1)^{(2n-1)} \psi d\psi d\theta.$$

Внутренние интегралы в выражениях (3.6) можно взять явным образом.

В качестве примера рассмотрим случай  $d = 2$ , т. е. задачу о равнотускоренном проникании в жидкость параболоида. При этом

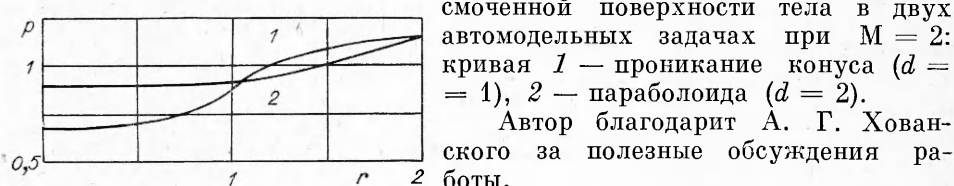
$$\Phi = -\frac{V(t)}{2\pi} [\Phi_1 - P_0] = -\frac{V(t)}{2\pi} \left[ \Phi_1 - \frac{1}{2} \int_{\theta_1}^{\theta_2} (\psi_2^2 - \psi_1^2) d\theta \right].$$

Функцию  $\Phi_1$  можно привести к виду

$$\Phi_1 = \int_{\theta_1}^{\theta_2} \left[ r_1(\psi_2) - r_1(\psi_1) + r \cos \theta \ln \frac{\psi_2 - r \cos \theta + r_1(\psi_2)}{\psi_1 - r \cos \theta + r_1(\psi_1)} \right] d\theta,$$

который дает решение задачи о проникании в сжимаемую жидкость тупого конуса [1].

На рисунке представлены графики распределения давления  $p$  по смоченной поверхности тела в двух автомодельных задачах при  $M = 2$ : кривая 1 — проникание конуса ( $d = 1$ ), 2 — параболоида ( $d = 2$ ).



Автор благодарит А. Г. Хованского за полезные обсуждения работы.

#### ЛИТЕРАТУРА

- Сагомонян А. Я., Поручиков В. Б. Пространственные задачи неустановившегося движения сжимаемой жидкости.— М.: Изд-во МГУ, 1970.
- Григорьев Э. И., Горшков А. Г. Взаимодействие упругих конструкций с жидкостью.— Л.: Судостроение, 1976.
- Кубенко В. Д. Проникание упругих оболочек в сжимаемую жидкость.— Киев: Наук. думка, 1981.
- Шамгунов Ш. Д. Удар произвольным тупым телом вращения по границе полупространства, занятого сжимаемой жидкостью // Материалы Всесоюз. симпоз. по распространению упругопластических волн в сплошной среде.— Баку: Изд-во АН АзССР, 1966.
- Skalak R., Feit D. Impact on the surface of a compressible fluid // Trans. ASME.— 1966.— V. B88, N 3. Рус. пер. Удар о поверхность сжимаемой жидкости // Конструирование и технология машиностроения.— М.: Мир, 1966.— Т. 88, № 3.
- Овсянников Л. В. Групповые свойства дифференциальных уравнений.— М.: Наука, 1978.
- Бородич Ф. М. О задаче контакта двух предварительно искаженных полупространств // ПМТФ.— 1984.— № 2.

Поступила 16/III 1987 г.

УДК 532.517.4

## О РАСЧЕТЕ ПУЛЬСАЦИОННЫХ ХАРАКТЕРИСТИК ТУРБУЛЕНТНЫХ ПОТОКОВ

B. A. Pavlovskiy  
(Ленинград)

При описании поведения сплошной среды используются инвариантные тензоры, характеризующие состояние среды [1—4]. Идеи, лежащие в основе определения связей между инвариантами в механике твердого деформируемого тела [2, 4], можно применить и в механике жидкости.

**Инвариантные тензоры напряжений Рейнольдса.** Тензор напряжений Рейнольдса  $R$  можно записать в бескомпонентной (бескоординатной) форме [1]

$$R = -\rho \overline{v' \otimes v'}.$$

Здесь  $v'$  — вектор пульсационной скорости;  $\rho$  — плотность жидкости;  $\otimes$  — знак тензорного умножения; черта — осреднение по Рейнольдсу. Этот тензор, как и любой другой тензор второго ранга, может быть представлен в произвольном базисе  $e_i$  как  $R = R^{ij} e_i \otimes e_j$ . Его физические компоненты  $R_{ij}$  образуют матрицу, элементы которой хорошо поддаются измерениям в потоке с помощью термоанемометра. В базисе  $(e_1, e_2, e_3)$  с со-